

# + Redefiniendo el rendimiento máximo

Despliegue uniforme<sup>1-3</sup>, fuerza de fijación<sup>4,5</sup>  
Parte integral de Instability Excellence

**Smith+Nephew**

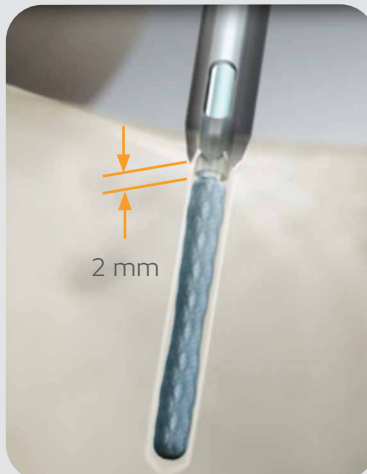
Q-FIX<sup>◇</sup>  
Anclaje todo sutura

# Anclaje todo sutura Q-FIX<sup>◇</sup>

## Despliegue uniforme<sup>1-3</sup>

- Diseñado para proporcionar un despliegue uniforme gracias al diseño de implante de expansión radial y al sistema de colocación
- El despliegue activo contra el vástago del introductor y el tensado de las suturas hasta un mínimo de 140 N contribuye al bajo desplazamiento durante pruebas de carga cíclica<sup>\*4-8</sup>

\*Según se demostró en pruebas de laboratorio



El introductor está 2 mm por debajo de la superficie del hueso



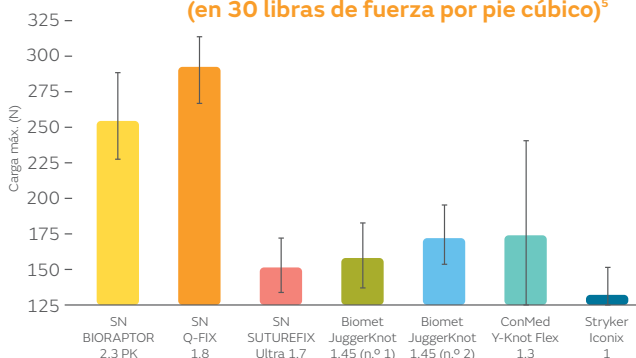
Despliegue de expansión radial



## Fuerza de fijación<sup>4,5</sup>

- Se ha demostrado que proporciona mayor fuerza de fijación que otros anclajes todo sutura disponibles en el mercado\*\*<sup>4,5</sup>
- Aporta las ventajas de un pequeño anclaje para tejidos blandos con las características de fijación similares o superiores a las de los anclajes macizos tradicionales\*\*\*<sup>5,9,10</sup>

### Carga máx. de los anclajes de reparación del labrum analizados (en 30 libras de fuerza por pie cúbico)<sup>5</sup>



\*\* Según se demostró en pruebas de laboratorio; comparado con el anclaje para sutura BIORAPTOR® 2.3 PK, Zimmer Biomet JuggerKnot™ 1.45 (n.º 1 y n.º 2), ConMed Y-Knot™ Flex 1.3 y Stryker Iconix 1

\*\*\* Según se demostró en pruebas de laboratorio

## Acceso mejorado<sup>11</sup>

- Mejore el acceso a anatomías complejas del hombro gracias a la guía de broca curvada Q-FIX, que incluye intuitivos indicadores táctiles y visuales<sup>11</sup>
- Mayor precisión que las guías de broca curvadas de los principales competidores\*, creando menos de 1 grado de desviación<sup>12</sup>

\*Medido como desviación de la broca frente al ángulo de la guía de broca; comparado con Cayenne SureLock™ curvado, Stryker Iconix curvado, Arthrex Fibretak curvado, Zimmer Biomet JuggerKnot™ largo curvado (sin manguito de centrado)

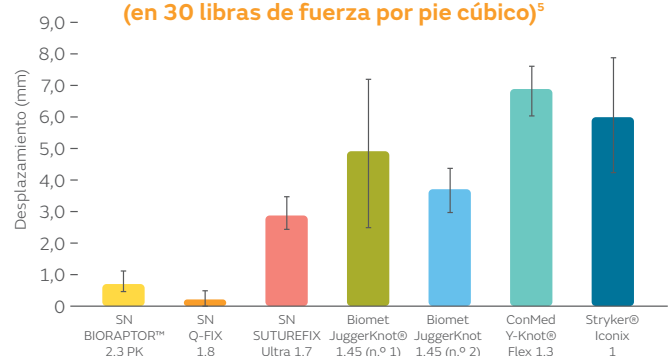
## Bajo desplazamiento

- Desplazamiento ultrabajo durante la carga cíclica\*\*<sup>4-8</sup>
- Se ha demostrado que los anclajes Q-FIX de 1,8 mm proporcionan el mayor rendimiento, con el desplazamiento más bajo durante la carga cíclica de entre los anclajes todo sutura de la competencia\*\*\*<sup>4,5,8</sup>

\*\* Según se demostró en pruebas de laboratorio

\*\*\* Según se demostró en pruebas de laboratorio; comparado con Stryker Iconix 1, 2, 2.5 y 3, Parcus Medical Draw Tight™ 1.8 y 3.2, Zimmer Biomet Juggerknot™ 1.4, 1.45 (n.º 1 y n.º 2), 1.5 y 2.9 y ConMed Y-Knot™ Flex 1.3, 1.8 y 2.8

### Desplazamiento a los 400 ciclos (en 30 libras de fuerza por pie cúbico)<sup>5</sup>



# Información para pedidos

## Anclaje todo sutura Q-FIX<sup>®</sup> MINI de 1,8 mm

N.º de referencia Descripción

### Anclajes

72290123 Anclaje todo sutura Q-FIX MINI de 1,8 mm

### Instrumentos reutilizables

25-1812 Obturador PATHFINDER<sup>®</sup> reutilizable de 1,8 mm

### Kits desechables

72290125 Kit desechable Q-FIX MINI de 1,8 mm

72290126 Kit desechable Q-FIX MINI XL de 1,8 mm

## Anclaje todo sutura Q-FIX de 1,8 mm

N.º de referencia Descripción

### Anclajes

25-1800 Anclaje todo sutura Q-FIX de 1,8 mm

### Instrumentos reutilizables

72290119 Guía de broca curvada reutilizable de 1,8 mm, XL

72205224 Guía de broca curvada reutilizable de 1,8 mm

25-1812 Obturador PATHFINDER reutilizable de 1,8 mm

72290032 Guía de broca Q-FIX de 1,8 mm, reutilizable

### Kits desechables

25-1810 Kit desechable Q-FIX de 1,8 mm

25-1811 Kit desechable Q-FIX XL de 1,8 mm

### Accesorios desechables

72290118 Broca Flex desechable de 1,8 mm

72290030 Broca recta Q-FIX de 1,8 mm, desechable

## Más información en [smith-nephew.com](http://smith-nephew.com)

Medicina deportiva  
Smith & Nephew, Inc.  
150 Minuteman Road  
Andover, MA 01810

**Smith & Nephew S.A.U**  
Fructuós Gelabert 2-4  
08970 Sant Joan Despí (Barcelona)  
España  
Telf: + 34 933 737 301  
Fax: + 34 933 737 453  
[www.smith-nephew.es](http://www.smith-nephew.es)

<sup>®</sup>Marca comercial de Smith+Nephew.  
©2021 Smith+Nephew.  
Reservados todos los derechos.  
Todas las marcas comerciales han  
sido reconocidas.  
06770-es V4 06/21



### Referencias

**1.** ArthroCare Corporation 2016. Report: Design Verification, 1.8mm & 2.8 mm Q-Fix Suture Anchor P/N 49190-01 Rev.B. **2.** ArthroCare Corporation 2017. Report: Design Verification, 1.8mm Q-FIX MINI Soft Suture Anchor P/N 49190-03 Rev. B. **3.** Smith+Nephew 2020. Safety and Performance of Q-Fix All-Suture Anchor System 17-5010-11. **4.** Barber FA, Herbert MA. All-Suture Anchors: Biomechanical Analysis of Pullout Strength, Displacement, and Failure Mode. *Arthroscopy*. 2017;33(6):1113-1121. **5.** Douglass NP, Behn AW, Safran MR. Cyclic and Load to Failure Properties of All-Suture Anchors in Synthetic Acetabular and Glenoid Cancellous Bone. *Arthroscopy*. 2017;33(5):977-985 e975. **6.** ArthroCare 2019. Comparative Testing of Bone Anchor Devices, 1.8mm Q-FIX Mini Soft Suture Anchor P/N 49193-02 Rev.B. **7.** Nagra NS, Zargar N, Smith RD, Carr AJ. Mechanical properties of all-suture anchors for rotator cuff repair. *Bone Joint Res*. 2017;6(2):82-89. **8.** Ruder JA, Dickinson EY, Peindl RD, Habet NA, Trofa DP, Fleischli JE. Cyclic and Load-to-Failure Properties of All-Suture Anchors in Human Cadaveric Shoulder Glenoid Bone. *Arthroscopy*. 2019;35(7):1954-1959 e1954. **9.** Bernardoni E, Frank RM, Veera SS, et al. Biomechanical Analysis of All-Suture Anchor Fixation for Rotator Cuff Repair. *Orthop J Sports Med*. 2018;6(7 suppl4). **10.** Saper MG, Meijer K, Winnier S, Popovich J, Jr, Andrews JR, Roth C. Biomechanical Evaluation of Classic Solid and All-Soft Suture Anchors for Medial Patellofemoral Ligament Reconstruction. *Am J Sports Med*. 2017;45(7):1622-1626. **11.** ArthroCare Corporation 2017. Report: Design Validation, Q-FIX Reusable Curved Drill Guides and Disposable Flex Drill, Irvine CA P/N 92017-01 Rev. A. **12.** Smith+Nephew 2017. Q-FIX Family Drill Deviation 15007031 A.